

## تحلیل مبدل ولتاژ تسلاي حالت جامد تشدید دوگانه

علی عباسی<sup>۱</sup>، محمدحسین خانزاده<sup>۲\*</sup>

۱- کارشناس ارشد، دانشگاه علم و صنعت ایران ۲- استادیار، دانشگاه جامع امام حسین (ع)

(تاریخ دریافت: ۹۲/۰۴/۲۴، تاریخ پذیرش: ۹۴/۰۲/۱۵)

**چکیده:** این مقاله به تحلیل مبدل ولتاژ تسلاي حالت جامد تشدید دوگانه پرداخته است. تفاوت این نوع از مبدل ولتاژ تسلا با مبدل ولتاژ تسلاي مبتنی بر اسپارک گپ در استفاده از یک یا چند کلید الکترونیک قدرت به جای اسپارک گپ است. در این مقاله مبدل ولتاژ تسلا، توسط یک اینورتر تمام پل، که یک موج مربعی را تولید می کند، تغذیه می شود. برای سادگی، از مدل عناصر فشرده استفاده، و از تلفات مقاومتی صرف نظر شده است. و روابطی برای ولتاژ خروجی و جریان سمت اولیه مبدل ولتاژ تسلا ارائه، و شرایط افزایش ولتاژ خروجی مبدل ولتاژ تسلا نیز بررسی شده است. برای بررسی تأثیر عمل کرد مبدل ولتاژ تسلا بر ولتاژ و جریان سمت dc اینورتر، از روش انتگرال گیری عددی اویلر و مفهوم تابع کلیدزنی استفاده شده است. مقایسه روابط حاصله با نتایج شبیه سازی با نرم افزار MATLAB/Simulink صحت روابط مذکور را نشان می دهد.

**واژه های کلیدی:** مبدل ولتاژ تسلا، اینورتر تک فاز، موج مربعی، تابع کلیدزنی، انتگرال گیری عددی.

### ۱- مقدمه

برای تحقق بهترین عمل کرد مبدل ولتاژ تسلا برابری فرکانس تشدید سیم پیچ های اولیه و ثانویه لازم است. اسپارک گپ<sup>۳</sup> (G) به عنوان یک کلید کنترل شده با ولتاژ عمل می کند، و وقتی که ولتاژ دو سر آن به اندازه کافی بزرگ باشد، جرقه ایجاد شده و مبدل ولتاژ تسلا در مد تشدید دوگانه<sup>۴</sup> عمل خواهد کرد.

برای این که ولتاژ دو سر اسپارک گپ به اندازه کافی بزرگ (در حدود ۵ تا ۱۵ کیلوولت) باشد، بایستی از یک مبدل ولتاژ افزایش دهنده (T<sub>1</sub>) نیز استفاده کرد، که معمولاً از مبدل ولتاژهای لامپ نئون<sup>۵</sup> به دلیل داشتن راکتانس نشتی بزرگ استفاده می شود. در شکل (۱) فیلتر به منظور جلوگیری از تأثیرات نامطلوب عملکرد مبدل ولتاژ تسلا بر شبکه قدرت به کار رفته است. تاکنون کارهای مختلفی در مورد مدارات تشدید دوگانه<sup>۶</sup> و بررسی و ساخت مبدل ولتاژ تسلاي مبتنی بر اسپارک گپ انجام شده است [۸-۱]. تحلیل و بررسی سیم پیچ تشدید سه گانه و مبدل ولتاژ تسلاي مبتنی بر استفاده از

مبدل ولتاژ تسلا یک مبدل ولتاژ تشدید است که به نام مخترع آن نیکولا تسلا (۱۸۵۶-۱۹۴۳) معروف است، و می تواند ولتاژهای بسیار بالا در فرکانس های زیاد تولید کند. مبدل ولتاژ تسلاي متداول به همراه اجزا تشکیل دهنده آن، که در شکل (۱) نشان داده شده است، دارای دو سیم پیچ اولیه و ثانویه است که به ترتیب در ولتاژ کم و زیاد کار می کنند، و از طریق یک هسته هوایی باهم تزویج دارند. معمولاً یک خازن ولتاژ بالا (C<sub>1</sub>) با سیم پیچ اولیه موازی شده و تشکیل یک مدار تشدید را می دهند.

هم چنین سیم پیچ ثانویه نیز با خازن C<sub>2</sub> (نشان دهنده حاصل توازی خازن خودی<sup>۱</sup> سیم پیچ ثانویه و خازن ناشی از ظرفیت خازنی گسترده بین بار بالایی<sup>۲</sup> مبدل ولتاژ تسلا و زمین (شکل (۲)) تشکیل مدار تشدید ثانویه می دهد. در مرجع [۱] نشان داده شده است که

3- Spark gap

4- Dual resonant transformer

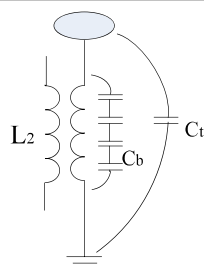
5- Neon sign transformer

6- Dual resonant circuits

\* رایانامه نویسنده مسئول: khanzade@ihu.ac.ir

1- Self capacitance

2- Top-load

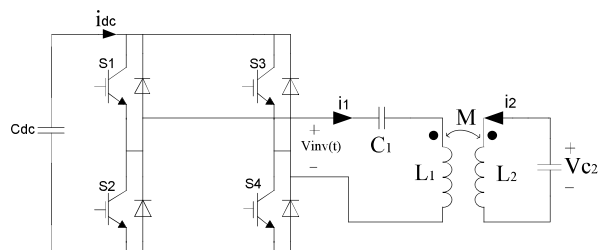


شکل ۲: خازن خودی سیم پیچ ثانویه و خازن ناشی از بار بالایی و زمین

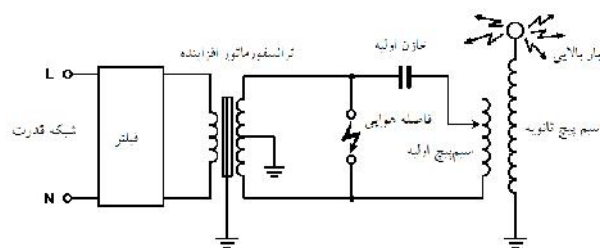
آن مطرح نشده است. بر این اساس در این مقاله بررسی مبدل ولتاژ تسلائی مبتنی بر استفاده از اینورتر تک فاز تمام پل به روش محاسبات تحلیلی مدنظر می‌باشد. در این مقاله از مدل عناصر فشرده برای مبدل ولتاژ تسلا استفاده، و مبدل ولتاژ تسلائی مذکور با ولتاژ مربعی تغذیه شده و سپس روابطی تحلیلی برای ولتاژ خروجی، جریان سمت اولیه مبدل ولتاژ تسلا و جریان سمت dc اینورتر ارائه و همچنین فرکانس کلیدزنی اینورتر برای داشتن ولتاژ بیشترین خروجی مبدل ولتاژ تسلا نیز تعیین شده است. بر این اساس ابتدا ولتاژ خروجی مبدل ولتاژ تسلا به صورت تحلیلی به دست آمده، سپس جریان سیم پیچ اولیه و در آخر جریان و ولتاژ سمت dc اینورتر، به ترتیب با استفاده از مفهوم تابع کلیدزنی و روش انتگرال گیری عددی اولر محاسبه شده است. سپس روابط به دست آمده با نتایج شبیه سازی با نرم افزار MATLAB/Simulink مقایسه، و نتیجه گیری کلی در بخش پایانی انجام شده است.

## ۲- مبدل ولتاژ تسلائی مبتنی بر اینورتر

در شکل (۳) مبدل ولتاژ تسلائی شکل (۱) با استفاده از مدل عناصر فشرده که توسط یک اینورتر تک فاز تمام پل تغذیه می‌شود، نشان داده شده است. در شکل (۳) اسپارک گپ G وجود ندارد و M نشان دهنده اندوکتانس متقابل بین سیم پیچ‌های اولیه و ثانویه می‌باشد.



شکل ۳: مبدل ولتاژ تسلا که از یک اینورتر تک فاز تمام پل تغذیه می‌شود.



شکل ۱: مبدل ولتاژ تسلائی مبتنی بر اسپارک گپ

مبدل ولتاژ هسته آهنی به جای مبدل ولتاژ هسته هوایی، به ترتیب در مراجع [۹-۱۰] انجام شده است. در زمینه طراحی مبدل ولتاژ تسلا نیز مقالات و کتاب‌های متعددی منتشر شده است [۱۱-۱۳]. بررسی مبدل‌های سری تشدید برای ایجاد ولتاژهای بسیار زیاد، در مراجع متعددی انجام شده، که از آن میان می‌توان به مرجع [۱۴] اشاره کرد.

مبدل ولتاژ تسلائی شکل (۱) علاوه بر نیاز به یک مبدل ولتاژ افزاینده، معایب عمده دیگری نیز دارد، از قبیل:

پیدا کردن خازن ولتاژ بالا مشکل است، و معمولاً نیاز است که ساخته شود، در صورت استفاده از اسپارک گپ ثابت، سروصدا و نور ایجاد شده بسیار آزار دهنده است. و برای استفاده از اسپارک گپ چرخان نیاز به یک موتور است. و همچنین به دلیل طبیعت غیرخطی پدیده یونیزاسیون هوا و محدودیت‌های عملی اسپارک گپ، فرکانس کاری سیستم را نمی‌توان از حد معینی بالاتر برد.

با توجه به معایب مبدل ولتاژ تسلائی مبتنی بر اسپارک گپ، استفاده از مبدل ولتاژ تسلائی مبتنی بر ادوات الکترونیکی قدرت پیشنهاد شده است [۶]. ایده اصلی کار در جایگزین کردن اسپارک گپ با یک یا چند کلید الکترونیک قدرت (معمولاً MOSFET یا IGBT) می‌باشد. در مرجع [۱۵] اندازه گیری فرکانس تشدید و دیگر پارامترهای مبدل ولتاژ تسلائی تک پایانه<sup>۱</sup>، در یک سیستم آزمایشگاهی مطالعه و انجام شده است. مرجع [۱۶] به بررسی وقوع تشدید در دو سیم پیچ با ساختارهای متفاوت (که باهم تزویج دارند)، هنگامی که یکی از آن‌ها با یک موج مربعی تحریک می‌شود، پرداخته است، اما مباحث مربوط به اینورتر و جزئیات طراحی و محاسباتی در

با استفاده از روابط (۱) و (۲) و پس از انجام محاسبات طولانی، سرانجام ولتاژ خروجی مبدل ولتاژ تسلا در حوزه زمان به صورت سری رابطه (۴) محاسبه می‌گردد.

$$V_{c2} = \frac{-M \omega_0}{L_1 L_2 C_2 \sigma^2} \sum_{k=1}^3 \sum_{n=1}^{\infty} n \frac{y_k(n)}{x_k} [a_n \cos(x_k t) + b_n \sin(x_k t)] \quad (4)$$

که در رابطه بالا

$$x_{1,2}^2 = \frac{\omega_1^2 + \omega_2^2}{2\sigma^2} \mp \sqrt{\left(\frac{\omega_1^2 + \omega_2^2}{2\sigma^2}\right)^2 - \frac{\omega_1^2 \omega_2^2}{\sigma^2}},$$

$$y_{1,2}(n) = \frac{\pm x_{1,2}^2}{(x_2^2 - x_1^2)(x_{1,2}^2 - x_3^2)},$$

$$y_3(n) = \frac{-x_3^2}{(x_3^2 - x_1^2)(x_3^2 - x_2^2)},$$

$$x_3^2 = n^2 \omega_0^2, \quad \sigma^2 = 1 - \frac{M^2}{L_1 L_2},$$

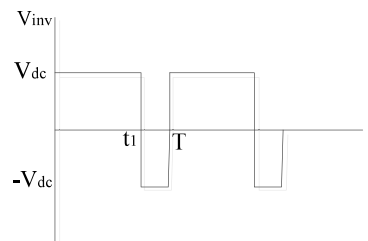
می‌باشد، لازم به ذکر است که در رابطه (۴)، ثوابت  $a_n$  و  $b_n$  ضرایب ولتاژ خروجی اینورتر هستند که از ضرب ضرایب تابع کلیدزنی در ولتاژ  $x_1^2$  و  $x_2^2$  خازن سمت dc اینورتر به دست می‌آیند. در صورت برابری  $\omega_1$  و  $\omega_2$ ، روابط به صورت رابطه (۵) ساده می‌گردند.

$$x_{1,2}^2 = \frac{\omega_1^2}{1 \mp k} \quad (5)$$

رابطه (۴) از دو بخش پاسخ ورودی صفر (جملات شامل آرگومان  $x_1$  و  $x_2$ ) و پاسخ حالت صفر (جملات شامل آرگومان  $n\omega_0$ ) تشکیل شده است. هم‌چنین با توجه به روابط  $y_1(n)$ ،  $y_2(n)$  و  $y_3(n)$  مشخص است که با افزایش  $n$ ، ضرایب مذکور با نرخ معکوس توان دوم  $n$  و ضرایب سری فوریه ولتاژ خروجی مبدل ولتاژ تسلا (ضرایب رابطه (۴)) با نرخ معکوس  $n$  کاهش می‌یابند. بنابراین منطقی است که ولتاژ خروجی مبدل ولتاژ تسلا را فقط با ضرایب مربوط به مقادیر کم  $n$  تقریب بزنیم. با این تفاسیر، با در نظر گرفتن ضرایب مربوط به  $n=1$  در ولتاژ خروجی مبدل ولتاژ تسلا، داریم:

$$V_{c2} = \frac{-M \omega_0}{L_1 L_2 C_2 \sigma^2} \sum_{k=1}^3 \frac{y_k(1)}{x_k} [a_1 \cos(x_k t) + b_1 \sin(x_k t)] \quad (6)$$

در شکل (۳)، برای تولید ولتاژ مربعی بایستی کلیدهای  $S_1$  و  $S_4$  باهم، و کلیدهای  $S_2$  و  $S_3$  باهم روشن شوند، تا بسته به دوره کاری اینورتر، شکل موجی به صورت  $V_{inv}(t)$  در شکل (۴) حاصل شود.



شکل ۴: ولتاژ خروجی اینورتر

در سیستم مورد مطالعه (شکل (۳))، معادله مشخصه سیستم برابر است با:

$$(1 - k^2) s^4 + (\omega_1^2 + \omega_2^2) s^2 + \frac{1}{C_1 C_2} = 0 \quad (1)$$

$$\omega_1 = \frac{1}{\sqrt{L_1 C_1}}, \quad \omega_2 = \frac{1}{\sqrt{L_2 C_2}}, \quad k = \frac{M}{\sqrt{L_1 L_2}}$$

که در معادله (۱)  $\omega_1$ ،  $\omega_2$  و  $k$  به ترتیب برابر با فرکانس تشدید سیم‌پیچ اولیه، فرکانس تشدید سیم‌پیچ ثانویه و ضریب تزویج می‌باشند. در صورتی که اینورتر ولتاژ مربعی  $V_{inv}(t)$  (شکل (۳)) را تولید کند، آن‌گاه تابع کلیدزنی اینورتر برابر است با:

$$s(t) = \sum_{n=0}^{\infty} c_n \cos(n\omega_0 t) + d_n \sin(n\omega_0 t) \quad (2)$$

که در رابطه بالا  $\omega_0 = \frac{1}{T}$ ، برابر با فرکانس پایه کلیدزنی اینورتر می‌باشد، و ضرایب تابع کلیدزنی فوق برابرند با:

$$c_0 = \left(\frac{2t_1}{T} - 1\right)$$

$$c_n = \frac{2}{\pi n} \sin\left(\frac{2\pi n t_1}{T}\right)$$

$$d_n = \frac{-2}{\pi n} \left[\cos\left(\frac{2\pi n t_1}{T}\right) - 1\right]$$

در این صورت، ولتاژ خروجی اینورتر برابر است با:

$$V_{inv}(t) = V_{dc}(t) S(t) \quad (3)$$

جریان سیم پیچ اولیه و تابع کلیدزنی در آن لحظه از رابطه (۹) محاسبه کرد.

$$i_{dc}(t) = s(t)i_1(t) \quad (10)$$

با فرض دانستن جریان سمت dc، ولتاژ خازن سمت dc از رابطه (۱۱) محاسبه می شود.

$$V_{dc}(t) = V_0 - \frac{1}{C_{dc}} \int_0^t i_{dc}(t) dt \quad (11)$$

که  $V_0$  ولتاژ اولیه خازن می باشد. چون انتگرال گیری از رابطه (۱۰) به صورت تحلیلی ممکن نیست، لذا برای محاسبه ولتاژ خازن سمت dc و حل معادله دیفرانسیل رابطه (۱۱)، از روش انتگرال گیری عددی اویلر استفاده شده است [۱۸]. بر این اساس، با استفاده از روابط (۱۰) و (۱۱) معادله دیفرانسیل مرتبه اول ولتاژ خازن سمت dc (رابطه (۱۱)) را در حوزه گسسته می توان به صورت رابطه (۱۲) نوشت.

$$V_{dc}(t_{k+1}) = V_{dc}(t_k) - \frac{1}{C_{dc}} \Delta t S(t_k) i_1(t_k) \quad (12)$$

که در رابطه (۱۲)،  $V_{dc}(t_{k+1})$  مقدار ولتاژ خازن سمت dc در لحظه  $t_{k+1}$ ،  $\Delta t$  گام زمانی انتگرال گیری و برابر با  $(t_{k+1} - t_k)$  می باشد.

### ۳- شبیه سازی و مقایسه

برای بررسی صحت روابط به دست آمده در بخش قبل، سیستم شکل (۳) در نرم افزار MATLAB/simulink شبیه سازی و نتایج حاصله با روابط (۳) تا (۱۲) مقایسه شده است. در شبیه سازی انجام شده، از کلیدهای الکترونیک قدرت IGBT استفاده شده و تلفات توان در آن ها بسیار ناچیز (مقاومت حالت روشن  $R_{on}=1 \mu\Omega$ ) در نظر گرفته شده است. لازم به ذکر است که در تمام روابط قبلی، تا هارمونیک ۸۰ ام سری فوریه لحاظ شده است. پارامترهای مبدل ولتاژ تسلا و اینورتر (شکل (۳)) به صورت جدول (۱) می باشد.

جدول ۱: پارامترهای شبیه سازی

$L_1=10\mu\text{H}$	$L_2=1\text{mH}$	$K=0.6$	$f=50\text{kHz}$
$C_1=1\mu\text{F}$	$C_2=10\text{nF}$	$\frac{t_1}{T}=0.5$	$V_{dc}=12\text{V}$

و در صورتی که دوره کاری اینورتر برابر با ۵۰٪ باشد، ضرایب  $a_n$  برابر با صفر خواهند شد، و  $V_{e2}$  به صورت زیر ساده خواهد شد:

$$V_{e2} = \frac{-M \omega_0}{L_1 L_2 C_2 \sigma^2} \sum_{k=1}^3 \frac{b_1 y_k(l)}{x_k} \sin(x_k t) \quad (7)$$

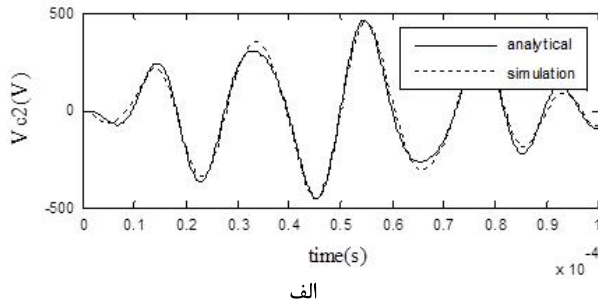
با توجه به رابطه (۵) مشخص است که برای داشتن ولتاژ بیشتر، در حالتی که ضریب تزویج کوچک باشد، با نزدیک شدن  $\omega_0$  به فرکانس تشدید هر یک از سیم پیچ های اولیه و ثانویه ولتاژ خروجی بزرگ تری ایجاد خواهد شد. اما در ضریب تزویج نزدیک به یک، برای تولید ولتاژ بزرگ تر بایستی  $\omega_0$  به  $x_1$  و یا  $x_2$  نزدیک شود. مقدار حداکثر  $V_{e2}$  (به صورت تئوری) زمانی است که هر سه جمله در رابطه (۷) باهم در بیشترین مقدار مثبت و یا منفی باشند، بنابراین مقدار حداکثر  $V_{e2}$  (حداکثر ولتاژ قابل دسترس در سیستم مذکور) برابر است با:

$$V_{e2\_max} = \frac{M \omega_0}{L_1 L_2 C_2 \sigma^2} (a_1 + b_1) \left( \left| \frac{y_1}{x_1} \right| + \left| \frac{y_2}{x_2} \right| + \left| \frac{y_3}{x_3} \right| \right) \quad (8)$$

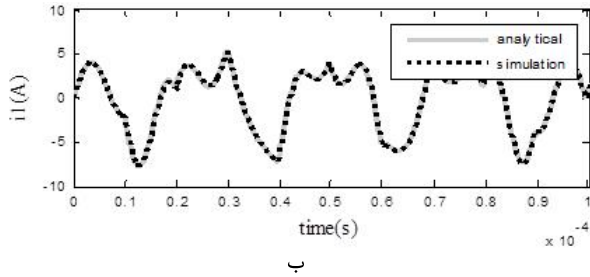
هم چنین می توان با روندی مشابه جریان سمت اولیه مبدل ولتاژ تسلا (در شکل (۱)) را به صورت سری زیر محاسبه کرد:

$$i_1 = \frac{\omega_0}{L_1 L_2 C_2 \sigma^2} \sum_{k=1}^3 \sum_{n=1}^{\infty} n y_k(n) (L_2 C_2 - \frac{1}{x_k^2}) [-a_n \sin(x_k t) + b_n \cos(x_k t)] \quad (9)$$

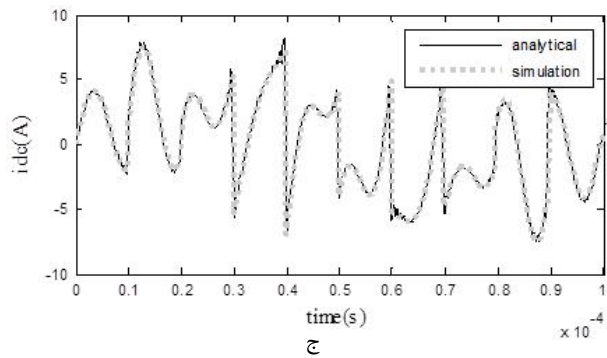
برای بررسی تأثیرات عملکرد مبدل ولتاژ تسلا بر جریان و ولتاژ سمت dc و محاسبه ظرفیت مورد نیاز خازن سمت dc و مطالعه معیارهایی از این دست، بایستی جریان و ولتاژ سمت dc را محاسبه و یا تغییرات آن ها بر حسب زمان معلوم باشد. محاسبه جریان سمت dc، در حالت کلی از طریق کانولوشن جریان سیم پیچ اولیه مبدل ولتاژ تسلا و تابع کلیدزنی اینورتر در حوزه فرکانس و یا از طریق ضرب جریان سیم پیچ اولیه مبدل ولتاژ تسلا و تابع کلیدزنی اینورتر (رابطه (۲)) در حوزه زمان امکان پذیر است [۱۷]. این بیان در رابطه (۱۰) نشان داده شده است. با توجه به این که جریان سیم پیچ اولیه (رابطه (۹)) به صورت یک سری می باشد، لذا محاسبه یک رابطه بسته برای جریان سمت dc- از طریق رابطه (۱۰) - بسیار دشوار است، و تنها می توان مقدار آن ها در هر لحظه از زمان، با دانستن مقادیر



الف



ب



ج

شکل ۶: الف: ولتاژ خروجی تقریبی مبدل ولتاژ تسلا.

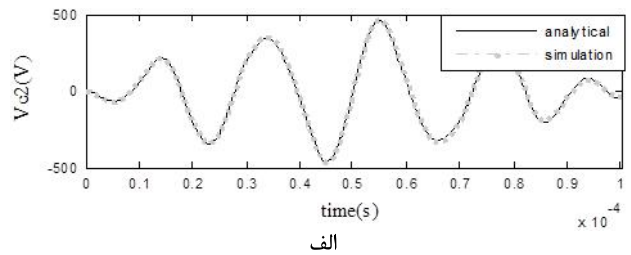
ب: جریان سیم پیچ اولیه ج: جریان سمت dc.

تغییرات  $V_{c2\_max}$  (رابطه (۸)) برحسب تغییرات  $\omega_0$  در دوره کاری اینورتر ۵۰٪، به صورت شکل (۷-الف) رسم شده است. با توجه به شکل (۷-الف) مشخص است که  $V_{c2\_max}$  دارای دو مقدار بیشینه است که در حوالی  $X_1$  و  $X_2$  رخ می دهد و اندازه  $V_{c2\_max}$  با نزدیک شدن  $\omega_0$  به  $X_1$ ، بیشتر از زمانی است که  $\omega_0$  به  $X_2$  نزدیک می شود. شکل (۷-ب) تأثیر دوره کاری اینورتر بر  $V_{c2\_max}$  را نشان می دهد. در دوره کاری اینورتر ۵۰٪،  $V_{c2\_max}$  در حداکثر مقدار خود قرار دارد و با افزایش دوره کاری اینورتر، مقدار آن کاهش می یابد.

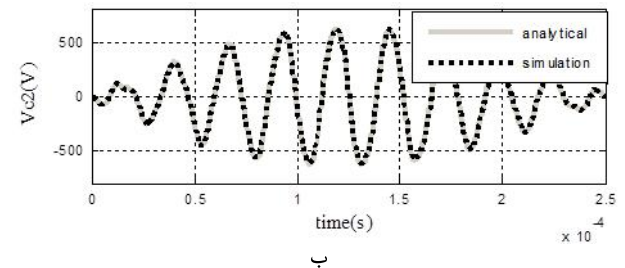
با توجه به اینکه شکل های (۷-الف و ب) تغییرات  $\omega_0$  از  $X_2/2$  تا  $X_1$  و با گام های ۲۰۰۰ تایی است، در این حالت  $\omega_0$  هیچ گاه برابر با  $X_1$  و یا  $X_2$  نخواهد شد و فاصله  $\omega_0$  از  $X_1$  و  $X_2$  در کمترین

در این حالت  $X_1 \approx 5 \times 10^5$  rad/s و  $X_2 \approx 2.5 \times 10^5$  rad/s خواهد بود. تغییرات ولتاژ خروجی مبدل ولتاژ تسلا (رابطه (۳)) برحسب زمان و در مقادیر مختلف  $\omega_0$  (در حالت های  $\omega_0 = \omega_1$ ،  $\omega_0 = 0.9X_2$  و شکل (۵-ب و ج) مشخص است که اندازه بیشینه ولتاژ خروجی، با نزدیک شدن  $\omega_0$  به  $X_1$ ، بیشتر از زمانی است که  $\omega_0$  به  $X_2$  نزدیک می شود.

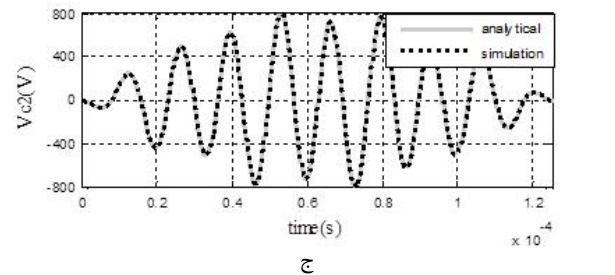
ولتاژ خروجی تقریبی مبدل ولتاژ تسلا (رابطه (۶))، جریان سیم پیچ اولیه و جریان سمت dc اینورتر در حالت  $\omega_0 = \omega_1$  و  $C_{dc} = 0.1$  mF



الف



ب



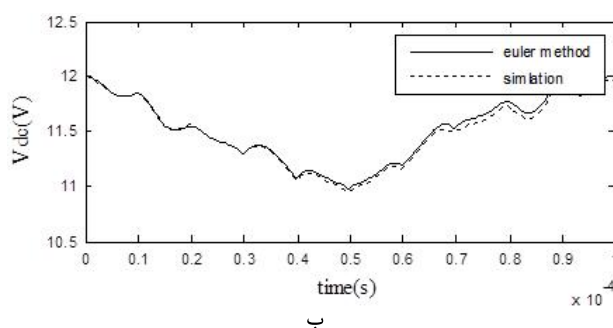
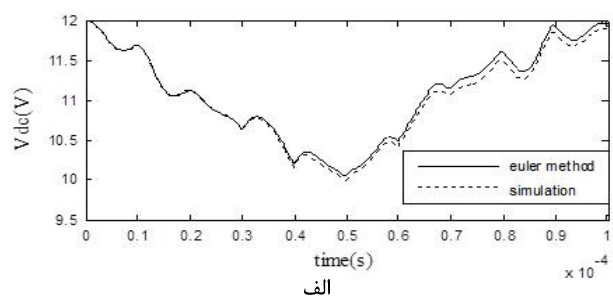
ج

شکل ۵: الف: ولتاژ خروجی مبدل ولتاژ تسلا در حالت  $\omega_0 = \omega_1$

ب: ولتاژ خروجی در حالت  $\omega_0 = 0.9X_2$  ج: ولتاژ خروجی در حالت  $\omega_0 = 0.9X_1$

$\Delta t = 0.1$   $\mu$ s نیز به ترتیب در شکل (۶-الف-ج) آورده شده است.

همان طور که در شکل (۶-الف) نشان داده شده است، اندک اختلافی بین نتیجه شبیه سازی با نتیجه حل عددی رابطه (۶) وجود دارد، ناشی از صرف نظر کردن از ضرایب مربوط به  $\pi > 1$  می باشد. روند



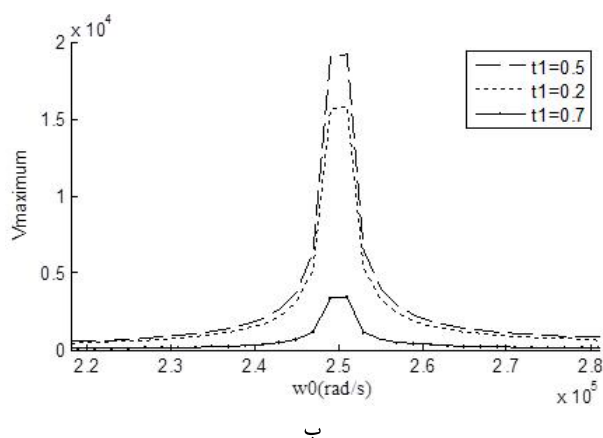
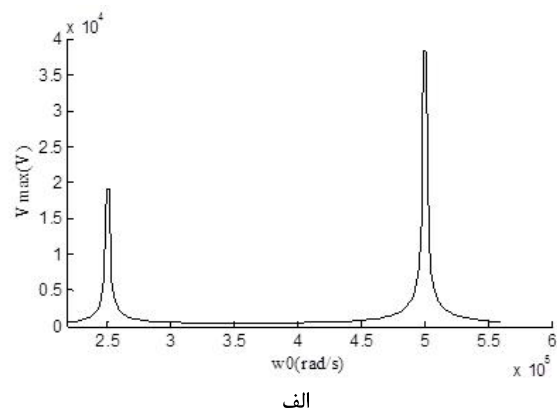
شکل ۸: ولتاژ خازن سمت dc در حالت الف:  $C_{dc}=0.1\text{mF}$

ب:  $C_{dc}=50\mu\text{F}$

#### ۴- نتیجه گیری

در این مقاله سعی بر بررسی تحلیلی مبدل ولتاژ تسلا در حالت جامد تشدید دوگانه بوده است. بر این اساس و با توجه به مباحث مطرح شده، نشان داده شد که معادلات ارائه شده از دقت کافی برخوردار هستند، و همچنین معادله بسته‌ای برای حداکثر ولتاژ خروجی مبدل ولتاژ تسلا ارائه، و شرایط افزایش ولتاژ خروجی مبدل ولتاژ تسلا از نقطه نظر فرکانس کاری اینورتر بررسی و نشان داده شد که نزدیک شدن فرکانس کاری اینورتر به ریشه‌های معادله مشخصه سیستم، منجر به افزایش ولتاژ خروجی مبدل ولتاژ تسلا خواهد شد.

همچنین تأثیر عملکرد مبدل ولتاژ تسلا بر جریان و ولتاژ سمت dc اینورتر نیز در این مقاله بررسی و شبیه‌سازی شد. به دلیل استفاده از مفهوم تابع کلیدزنی اینورتر برای محاسبه جریان سمت dc، در صورت استفاده از روش‌های دیگر کلیدزنی نیز می‌توان از روش ارائه شده در این مقاله برای محاسبه جریان سمت dc استفاده کرد. همچنین در این مقاله روشی برای محاسبه ظرفیت خازن سمت dc نیز ارائه شد. به عنوان کارهای بیشتر می‌توان تأثیر پارامترهای دیگر این سیستم (مانند ضریب تزویج و ...) بر ولتاژ خروجی مبدل ولتاژ تسلا و دیگر متغیرهای سیستم مذکور را مطالعه کرد.



شکل ۷: الف: تغییرات  $V_{c2}^{max}$  بر حسب فرکانس پایه اینورتر در دوره کاری ۵۰٪. ب: تأثیر دوره کاری اینورتر بر  $V_{c2}^{max}$  در حوالی  $X_2$

حالت برابر با ۱۰۰۰ خواهد بود. با نزدیک‌تر شدن  $\omega_0$  به  $X_1$  و یا  $X_2$ ،  $V_{c2\_max}$  افزایش خواهد یافت.

شکل (۸-الف و ب) مقایسه نتایج حل عددی و شبیه‌سازی ولتاژ سمت dc را در حالت‌های به ترتیب  $C_{dc}=50\mu\text{F}$  و  $C_{dc}=0.1\text{mF}$  نشان می‌دهد. با توجه به تغییرات ولتاژ خازن dc در شکل (۸-الف) در مقایسه با شکل (۸-ب) مشهود است که می‌توان خازن dc را به گونه‌ای انتخاب کرد که حداکثر نوسانات ولتاژ آن در محدوده دلخواه باشد. لازم به ذکر است که چون در سیستم مورد مطالعه (شکل (۳)) از تلفات مقاومتی سیم‌پیچ‌ها و تلفات توان در کلیدهای الکترونیک قدرت صرف نظر شده است، ولتاژ سمت dc در انتهای یک سیکل (شکل (۸-الف و ب)) کاهش نخواهد یافت و تنها شامل نوساناتی در طول دوره تناوب خود خواهد بود.

## ۵- مراجع

- [9] N. W. Mather, "An Analysis of Triple Tuned Coupled Circuits," *Proc. IRE*, vol. 38, Issue. 7, pp. 813-822, 1950.
- [10] V. A. Kolchanova, "On Calculation of the Tesla Coil with Iron Core," *Proc. SPCMTT*, pp. 40-41, 2003.
- [11] M. Paraliev, C. Gough, and S. Ivkovic, "Tesla Coil Design for Electron Gun Application," *PPC*, pp. 1085-1088, 2005.
- [12] M. Tilbury, "The Ultimate Tesla Coil Design and Construction Guide," *McGraw-Hill Inc.*, 2008.
- [13] C. Boonseng and P. Apiratikul, "A Low Cost Approach to Design the Tesla Transformer for Testing of Insulating Materials," *Proc. ISEIM*, pp. 332 – 335, 2001.
- [14] B. S. Nathan and V. Ramanarayanan, "Analysis, simulation and design of series resonant converter for high voltage applications," *Proc. ICIT*, pp. 688-693, 2000.
- [15] S. S. Gürleyüka, H. Taşkinb, and Z. Saraça, "Measurement of the Parameters and the Resonance Frequency in Semiconductor Controlled Tesla Transformer," *International Journal of Electrical Power & Energy Systems*, vol. 43, Issue. 1, pp. 6-10, Dec. 2012.
- [16] E. M. Costa, "Resonance on Coils Excited by Square waves Explaining Tesla Transformer," *IEEE Trans. Magn.*, vol. 46, No. 5, May 2010.
- [17] B. P. McGrath and D. G. Holmes, "A General Analytical Method for Calculating Inverter DC-Link Current Harmonics," *IEEE Trans. Ind. Appl.*, vol. 45, no. 5, pp. 1851-1859, Sep./Oct. 2009.
- [1] R. E. Terman, *Radio Engineers Handbook (First Edition)*, McGraw-Hill Book Company, 1943.
- [2] J. Corum and J. Daum, "Tesla Coil Research," *US Army Armament Research*, May 1992.
- [3] L. A. Kelley, "Direct Solution of Coupled Tuned Circuits," *Electrical Engineering*, vol. 51, Issue. 11, pp. 789-794, Nov. 1932.
- [4] Sanford and S. Richard, "Analysis of A Tuned Coupled Circuit By Root-Locus Techniques," *IEEE Trans., Educ.*, vol. 7, Issue. 2&3, pp. 82-85, 1964.
- [5] N. de, N. Donaldson, and T. A. Perkins, "Analysis of Resonant Coupled Coils in the Design of Radio Frequency Transcutaneous Links," *Med. & Biol. Eng. & Comput.*, vol. 21, pp. 612-627, 1983.
- [6] H. Suomalainen, *The Tesla Coil Theory and Applications*, Sept. 1993.
- [7] R. A. Martin and R. D. Teasdale, "Input Admittance Characteristics of a Tuned Coupled Circuit," *Proc. IRE*, vol. 40, Issue. 1, pp. 57-61, 1952.
- [8] J. J. Adams, "Under coupling in Tuned Coupled Circuits to Realize Optimum Gain and Selectivity," *Proc. IRE*, vol. 29, Issue. 5, pp. 277-279, 1941.

## **Analysis of Dual Resonant Solid State Tesla Voltage Converter**

**A. Abbasi, M. H. Khanzadeh\***

\*Imam Hossein University

(Received: 16/07/2013 , Accepted: 05/05/2015)

### **Abstract:**

*In this paper, Analysis of dual resonant solid state tesla transformer (DRSSTS) is accomplished. The difference between this types of tesla transformer and spark gap tesla transformer, is using of one or more power electronic switch instead of spark gap. In addition, DRSSTS is different than the solid state tesla transformer due to the addition of a primary tank capacitor. In this paper, tesla transformer is fed by full bridge inverter, which generates square wave. For the sake of simplicity, tesla transformer is modeled by lumped elements and resistive losses are neglected. Then, analytical equations for Tesla transformer's output voltage and primary side current, are calculated, and conditions to increase tesla transformer's output voltage has been investigated. Using Euler numerical integration method and switching function concept, the effect of tesla transformer's operation, on inverter dc side voltage and current, has been evaluated. The test system is simulated in MATLAB/Simulink software, and validity of calculated equations, is verified by simulation results.*

**Keywords:** Tesla transformer, single phase inverter, square wave, switching function, numerical integration.